

## 大気汚染ポテンシャルに関する一考察

国立公害研究所 潟口次夫、落合美紀子、内藤正明  
大阪府公害監視センター 内田和隆

## 1 まえがき

大気汚染の予測は、基本的にはブルームモデル、バフモデルなどの拡散式を数値計算して、個々の発生源やどの地域にどれだけ影響しているかを、定量的に求めらるのが一般的な方法であり、大気環境管理計画などに際しての長期的あるいは平均的な評価について、実際に、これらのモデルに基づき、大型計算機を駆使して、大都市域の多数の煙源からの地上濃度分布を求め、有效地に利用されている。

しかし、大気汚染防止法第23条に規定されているような緊急時の予測および制御に適用するには、上記モデルに導入すべき、入力情報としての汚染物質排出量はもとより、大気安定度、拡散係数などの気象パラメータの十分な予知が困難であり、また、規制側の地方自治体の保有しているオンラインコンピューターの容量等も問題となる。実際に、光化学スモッグ注意報などの緊急時が発令された場合、計算上、煙源ごとに制御比率を決めることは可能であるが、わが国の産業構造から考えて、実施することは不可能であろう。そこで、地方自治体レベルの大気汚染監視システムで緊急時のような短期予測に適用しうる予測方式として、大気汚染ポテンシャル予測があろが、この方式の実用化などについて検討を行なったので報告する。

大気汚染ホテンシャルは、その地域の地形、気象条件によってはば決まる。ここでは、大阪府域を対象とし、大阪府における大気汚染判定値と気象要素等を統計処理し、現在、問題となっている光化学オキシダント濃度の予測を試みた。

## 2. 大阪平野の気候の特徴<sup>1) 2)</sup>

大阪府の地形は図-1に示されているように、西側は大阪湾に面し、他の三方は山地に囲まれている。すなわち、東側は南北に連なる生駒山地と金剛山地、北西側は六甲山地と、それから東北東へ連なる光棍山地がいずれも 600~1,000m の高度で連なっている。南部は丘陵地を経て和泉山脈がほぼ東西に走って和歌山県境となつて、これらに囲まれた中央が大阪平野となって都市都市が形成されている。平野部は東西約 20 km、南北約 40 km の広さで、北東方向は淀川に沿つて低地が開け、京都盆地に続いている。また、南方は生駒山地と金剛山地の間を大和川が奈良盆地から流れてくる。

大阪府は、面積僅か  $1850 \text{ km}^2$  の地域であるが、以上のよ

うに複雑で変化に富んだ地形を有しているので、その局地気候は大阪平野特有のものである。ことに気圧傾度が低く、日射量が多い、好天時には、大阪湾からの海陸風と周辺の山地による山谷風等が、複雑な流れを形成する。したがって、気象要素それぞれの観測値はほぼ等しくて、大気汚染ホテンシャルは地形条件によりて大きく異なるものと考えられる。

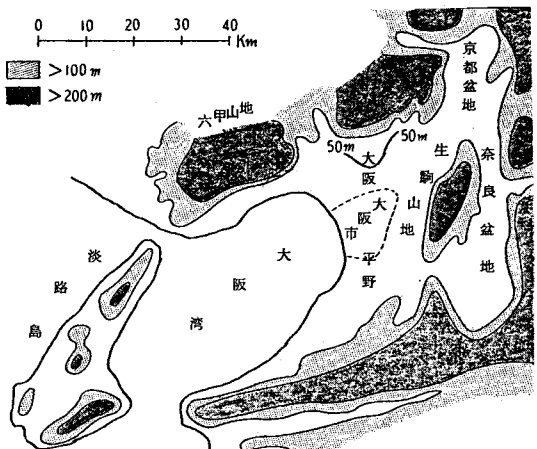


図-1 大阪平野とその周辺の地形

### 3. 大気汚染ボテンシャルと気象条件<sup>33)</sup>

すべての気象要素は大気汚染ポテンシャルに影響するといえる。しかし、気象要素のなかで風向、風速のように、極めて影響の大きいものから、比較的少ないものまで様々である。また、大気汚染がポテンシャルといつて、亜硫酸ガスに代表される一次汚染物質と、光化学オキシダントのようなら二次汚染物質とではそのポテンシャルを左右する気象条件が異なる。以下に、主な気象要素について、それそれぞれどのように大気汚染がポテンシャルに關係するかを説明する。

### 1) 風

風向、風速とも、大気汚染がポテンシャルを考えるとき欠かすことのできない気象要素である。風には、気圧傾度から起きた一般風と、海陸の温度差等から起きた局地風がある。大阪の場合、いわゆる傾度風ではなく、晴天の場合、大阪湾からの西風が日中卓越するが、海岸線に沿って大発生源が連なる、いわゆる、汚染物質が内陸へ運ばれることになる。したがって、大阪では西よりの風向がポテンシャルが高くなる。また、気圧傾度の大きさが同じ場合、海風を打消す方向、すなわち、傾度風が東よりの場合がポテンシャルが高くなる。

### 2) 日射

日射量の強さは、大気汚染がポテンシャルを高くする場合と、逆に低くする場合がある。日射は鉛直方向の流れを大きくし、大気の亂れを生じる。したがって一般的には大気汚染がポテンシャルを低くする方向になる。しかし、光化学オキシダントは、大気中で紫外線によって窒素酸化物、炭化水素などが反応して生成されるものであるから、紫外線の強いことが条件となり、したがって、日射量は光化学オキシダントのポテンシャルを高くなる。

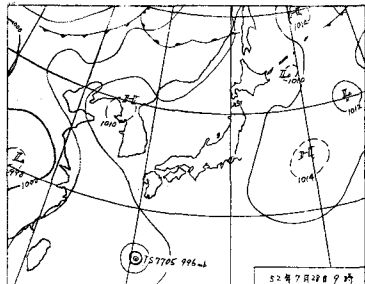
### 3) 気温

大気汚染における気温の問題は鉛直分布が重要な要素となる。鉛直方向に温度差がない、あるいは逆転している場合、大気は安定となり、汚染物質は滞留して大気汚染がポテンシャルは極めて高くなる。また、光化学オキシダントはある程度気温の高いことが条件となる。

### 4) 雨

雨、雪などは汚染物質の淨化作用があり、その強さに応じて大気汚染がポテンシャルは低くなる。

以上のはかりに大気汚染がポテンシャルに影響する気象要素は多くあるが、これらをシノプティックにあらわしたものとして天気図がある。図-2に夏季の典型的な大気汚染がポテンシャルの高い天気図を示す。



### 4. 光化学オキシダントポテンシャルの予測

図-2 1977年7月28日の地上天気図

前述したように、ほとんどの気象要素が大気汚染がポテンシャルに関与するが、このうち、入手しやすい気象要素で、しかも、数少ない項目で高精度度のポテンシャル予測をするのが本研究の目的である。

大阪平野は、大阪湾の存在によって海陸風が顕著であり、夏季は冬季に比べ海風が卓越する。大阪における光化学オキシダントの濃度は海風の季節と極めて関係が大きく、したがって、大阪府の北部と南部とでは地形の影響等から、異なった汚染パターンを示している。

#### 4-1. チェックシートによるオキシダント濃度の予測

大阪平野を北部、南部の二地域に分け、それぞれの地域の汚染がポテンシャルを、風、天気、日照時間等をチェック項目として予測を試みた。

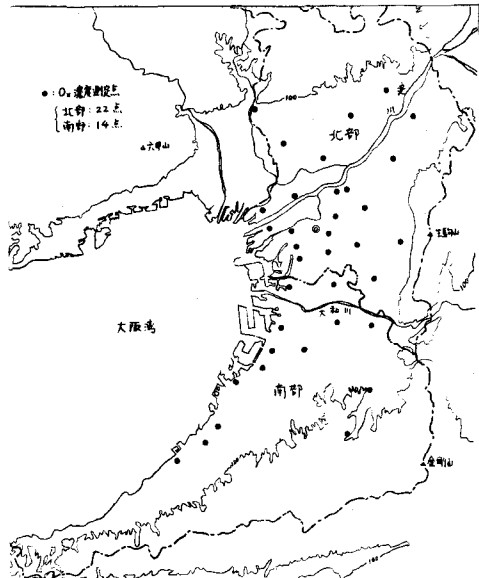
#### 12. オキシダント濃度ランクの区分

調査期間は、昭和50～52年6～8月の合計276日とした。オキシダントの測定値は、現在と異なる10%KJ溶液によるものであるが、その測定値を補正せずに利用した。測定点は昭和52年度における大阪府のオキシダント

基準測定点（56地点）を利用して、その6~20時の間での最高値によって、表-1に示すように0, 1, 2の3段階に区分した。また、地域は、大阪府のオキシダント緊急時等の発令地域区分（7地域）の境界により、図-3のように北部、南部に区分した。それぞれの地域での濃度ランク別日数は、表-2に示すとおりである。

北部、南部共に0ランクは131日と同数であるが、2ランクは北部の方がやや多い。

図-3 オキシダント濃度測定点と地域区分



2) 気象要素による低濃度（ランク0）の予測について  
オキシダントは、その発生原因から考えられるように、天気が悪く雨の場合、日照が非常に少ない時等は、風の条件にかかわらず低濃度となる。

日照時間、日中（6~18時）の天気と濃度ランク（全域）の関係をみると表-3のようになる。ランク2の日数は日照時間が多くなるほど多いが、日照時間が多い場合でも0ランクの日数はかなりあるので、濃度を高める要因として単独には利用できない。しかし、日照時間0.5時間以下の場合をみると、総数43日のうち39日が0ランクとなっている。また、日中の天気との関係をみると、雨または雨一時曇の場合にはすべて0ランクである。

以上の結果により、日照時間0.5時間以下、日中の天気が雨または雨一時曇の場合をランク0とした。この条件により216日のうち44日はランク0と判定されるが、残りの232日について、次に気圧傾度および高層風との関連を調べる。

気圧傾度は、大阪、鶴橋、朝岬、名古屋、高松の5地点の9時の気圧により算出したものである。図-4は、気圧傾度と濃度ランクの関係を示したものである。気圧傾度の分布は北西～南東方向に長い形に分布しているが、ランク0の分布は、図に示すように北西・南東象限では1.5mb以上、南西象限では0.8mb以上の部分に多く、

表-1 オキシダント濃度ランク

オキシダント濃度ランク	
2	日最高値が15pphm以上
1	日最高値が10pphm以上
0	○日最高値が9pphm以下 ○1地点のみが10pphm以上で あっても、他の全地点で9pphm 以下であればランク0とする。

注：測定点数は府北部は22地点、南部は14地点である。

表-2 オキシダント濃度ランク別日数

年月	北部			南部			全域		
	0	1	2	0	1	2	0	1	2
'75.Jun.	11	9	10	12	11	7	9	10	11
'75.July.	13	8	10	12	9	10	10	8	13
'75.Aug.	11	11	9	14	6	11	11	5	15
'76.Jun.	16	9	5	15	9	6	14	8	8
'76.July.	18	6	7	18	6	7	16	4	11
'76.Aug.	15	6	10	17	9	5	15	6	10
'77.Jun.	18	4	8	17	7	6	15	7	8
'77.July.	12	6	13	11	14	6	10	7	14
'77.Aug.	17	6	8	15	10	6	13	7	11
計	131	65	80	131	81	64	113	62	101

表-3 日照時間・日中の天気とオキシダント濃度ランク（全域）

(1) 日照時間とオキシダント濃度ランク

日照時間 ランク	0 <sup>h</sup>	0.0-0.5 <sup>h</sup>	0.6-2.0 <sup>h</sup>	2.1-5.0 <sup>h</sup>	5.1 <sup>h</sup>
	0	28	11	14	14
1	2	1	4	13	42
2	1	0	4	14	82

(2) 日中(6~18時)の天気とオキシダント濃度ランク

天気 ランク	雨または雨一時曇	雨または雨一時曇 以外の降雨日	降雨なし
	0	50	41
1	0	20	42
2	0	28	73

また、 $120^{\circ}$ 付近から $270^{\circ}$ にかけて分布が多くなっていく。 $0^{\circ}\sim 80^{\circ}$ および $130^{\circ}\sim 270^{\circ}$ の部分は、図のような範囲で分けると境界外の部分はすべてランク0が分布している。 $80^{\circ}\sim 150^{\circ}$ および $270^{\circ}\sim 360^{\circ}$ の部分は気圧傾度が大きい場合で6ランク1, 2があるが、図のように $1.5\text{mb}$ で分けると27日中21日がランク0になる。一方、高層の平均風速を、 $100\sim 500\text{m/s}$ および $500\sim 1000\text{m/s}$ について求め、風速と濃度ランクとの関係をみると表-4のようになる。風速が強いほど濃度ランク0の割合が多くなっており、10%以上では、16日のうち15日がランク0である。

気圧傾度と高層の平均風速でさらに48日がランク0と判定され、日照時間・天気と合わせると、これらの4条件で合計92日がランク0と判定される。これら92日の実況は、ランク0が81日、ランク1が10日、

ランク2が1日となり適合率は88%である。

### 3) 気象要素による高濃度の予測について

22)によつて、276日のうち92日が低濃度の条件に類別されたが、残りの184日は、日照があり、一般風は弱く局地風があらわれやすい条件を備えていると考えられる。そこで、北部、南部地域のそれについて、気圧傾度と高層風との関係を詳しく調べた。図-5・6は、

それそれ184日について、北部、南部地域の濃度ランクと気圧傾度の関係を示したものである。ランク2の分布は北部、南部ではかなり連続した分布をしている。北部では、 $140^{\circ}\sim 270^{\circ}$ 以外の気圧傾度の小さい部分にランク2が大部分含まれてお

り、図に示すように $270^{\circ}\sim 360^{\circ}$ では $0.9\text{mb}$ 以下、 $0^{\circ}\sim 20^{\circ}$ では $0.8\text{mb}$ 以下、 $20^{\circ}\sim 90^{\circ}$ では $0.5\text{mb}$ 以下、 $90^{\circ}\sim 140^{\circ}$ では $0.7\text{mb}$ 以下の領域でランク2の数が多い。また、 $140^{\circ}\sim 270^{\circ}$ の $0.4\text{mb}$ 以下の部分にはランク1, 2がほぼ同数分布している。この他の領域にはランク1の分布が多い。一方、南部では、ランク2は気圧傾度がやや大きい部分にも分布しており、気圧傾度の小さい部分にランク1の分布が多い。北部のようにランク1と2を区別することは難しいが、 $270^{\circ}\sim 360^{\circ}\sim 20^{\circ}$ および $80^{\circ}\sim 110^{\circ}$ のやや気圧傾度が大きい部分にランク2が多く、 $180^{\circ}\sim 270^{\circ}$ では気圧傾

図-4. 気圧傾度とオキシダント濃度ランク(全域)

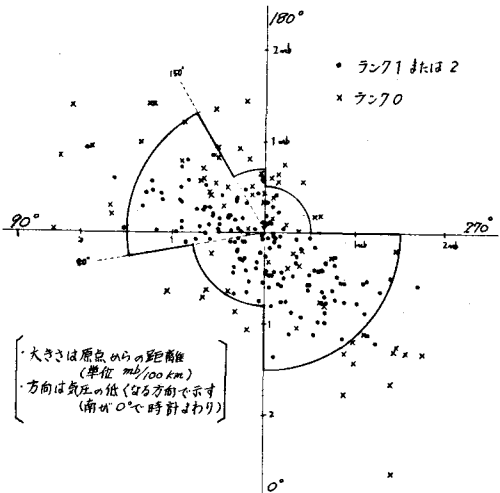


表-4. 高層風の平均風速とオキシダント濃度ランク(全域)

ランク	$100\sim 500\text{m/s}$ , $500\sim 1000\text{m/s}$ の平均風速	0-4.9 % n.s.	一方が 0-4.9% 他方が 5.0-9.9% % n.s.	5.0-9.9 % n.s.	一方が 10.0% 以上	欠測
0		22	16	13	15	7
1		42	11	5	1	0
2		90	6	1	0	3

注: 1000m以下で欠測となっている場合は、観測されている高度まで集計した。

図-5. 北部地域における気圧傾度と濃度ランク

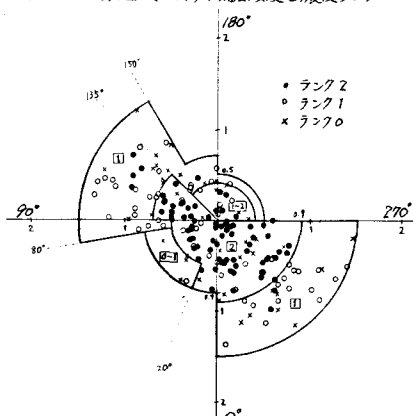
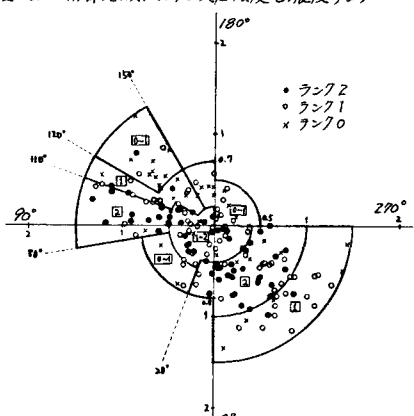


図-6. 南部地域における気圧傾度と濃度ランク



度にかかるらずランク2は分布していない。このことは、北部地域の高濃度には気圧傾度が小さい、すなわち一般風が弱いという条件が大きな要素になり、一方で、南部地域では、むしろ一般風の風向が高濃度の条件になつてゐることを示していると考えられる。ランクの判定は図に示したような領域に区分して予想に利用した。次に、パイロットバルーンの飛跡型を検討する。接地層が北東風の場合に全域で高濃度の日が多く、上空が南東風の場合に南部に高濃度が多い。西風が卓越する場合に北部地域で高濃度となる。

以上の結果から、気圧傾度と高層風によってランクを判定し、それらを組み合わせて、表-5によるチェック方式を決めた。ランクの判別が困難な場合に、日最高気温および午前9時の視程を利用することとした。

#### 4) 結果

以上の結果に基づいて作成したオキシダント濃度予測のチェックシートを図-7に示す。この流れ図によつて判定した濃度ランクと実況との比較は、表-6に示すところである。実際には、日照時間・天気・日最高気温などは予測値を使うことになるが、これらの値ばかり高い確度が期待できる。

北部地域と南部地域でのオキシダント濃度の差異は、気圧傾度の方向および大きさ、高層の風の状況が大きな要因となつてゐる。経験的に知られているが、北部の高濃度発生は午前の弱風による一次汚染物質の滞留が条件となるが、南部、特に泉州地域では晴天時の南東から東系の風の時に、和泉山脈の影響で南部に侵入する海風によつてさらされると高濃度があり、必ずしも弱風という条件が高濃度につながっている。

表-6 濃度ランク予測の適合率

##### (1) 大阪府北部

予測実況	0	1	2
0	106	22	3
1	5	48	12
2	1	13	66

##### (2) 大阪府南部

予測実況	0	1	2
0	103	24	4
1	10	53	18
2	1	18	45

表-5 パイロットバルーンの飛跡および気圧傾度による判定

##### (1) パイロットバルーンによる高層風観測値が得られている場合

気圧傾度判定	パイロットバルーンの飛跡による判定				
	0	0-1	1	1-2	2
0-1	0	0-1(注1)	1	1	1
1	0	0-1(注2)	1	1	1-2(注1)
1-2	0	1	1	1-2(注1)	2
2	0	1	1-2(注1)	2	2

(注1) 高ランク、低ランクの判定は以下による

- ① 日最高気温  $\leq$  年平均  $+2^{\circ}\text{C}$  ならば +1
- ② 午後の視程  $\leq 5\text{ km}$  ならば +1
- ③ 午時の視程  $\leq 30\text{ km}$  ならば -1

以上①~③合計が +1, +2 のときは高ランク、0または

- ①~③の条件にあてはまらないときは低ランク。

(注2) 午時の視程  $\leq 30\text{ km}$  であれば低ランク(0)とする。

##### (2) パイロットバルーンによる高層風観測値が欠測の場合

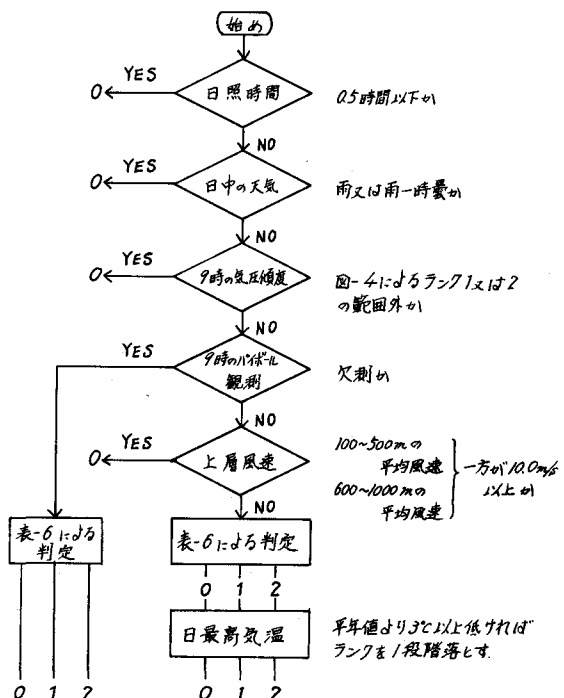
気圧傾度判定	0-1	1	1-2	2
-2	0	0	0	0
-1	0	0	1	1
0	0	1	1	2
+1	1	2	2	2

① 日照時間 2 時間以下 : -1

② 日最高気温  $\leq$  年平均  $-3^{\circ}\text{C}$  : -1

③ " "  $\geq$  "  $+2^{\circ}\text{C}$  : +1

図-7 オキシダント濃度ランク予測フロー



#### 4-2. 数学モデルによるオキシダント濃度の予測

昭和50年6月～8月の3ヶ月間のデータを用いて、オキシダント濃度の予測式を求めた。使用した変数を表-7に示す。オキシダント濃度は大阪府北部地域8か所の測定点での最大値を用いた。

##### i) 利用した予測式

予測式は、重回帰分析とGMDH(The Group Method of Data Handling)を適用して求め、モデルの適合度を比較した。

重回帰分析は、変数増減法により、寄与率の高い変数の組を使用した。

GMDHアルゴリズムの構造を図-8に示す。  
手順は次のとおりである。

i) 入力変数として表-7の $x_1^{(0)}, \dots, x_N^{(0)}$ を選択する。

ii) 第1ステップの入力変数 $x_1^{(0)}, \dots, x_{N_1}^{(0)}$ に対して、  
そのすべての2変数の組合せについて、中間多項式

$$Z_l^{(k)} = a_0 + a_1 x_1^{(k)} + a_2 x_2^{(k)} + a_3 x_3^{(k)} + a_4 x_4^{(k)} + a_5 x_5^{(k)} \quad \dots (1)$$

$$\left( \begin{array}{ll} i, j = 1, \dots, N_k & i \neq j \\ l = 1, \dots, M & M = \binom{N_k}{2} C_2 \end{array} \right)$$

により第1ステップの中間変数 $Z_l^{(k)}$  ( $l = 1, \dots, M$ ) を求める。

iii) で求めた中間変数 $Z_l^{(k)}$  ( $l = 1, \dots, M$ ) について

予測式  $\hat{y} = b_0 + b_1 Z_1^{(k)} + \dots + b_M Z_M^{(k)}$  に対する寄与率の高い変数の組 $\{Z_{\sigma(1)}, \dots, Z_{\sigma(N_{k+1})}\}$  を求め、第( $k+1$ )ステップの入力変数 $\{x_1^{(k+1)}, \dots, x_{N_{k+1}}^{(k+1)}\}$  とする。

iv)  $N_{k+1} \geq 2$  ならば、 $k$ を $k+1$

と置換えて、手順ii)に戻る。

手順ii), iii)を繰り返し、 $N_{k+1}=1$

になれば計算を停止する。前回までに計算された(i)式を次々に代入して、完全表現 $\hat{y}$ が定まる。

##### 2) 結果

以上によって得られた予測式を表-8に示す。両予測式の

表-7 The Input and Output Variables

y	$O_x(t)$	$O_x(t)$ : オキシダント濃度 Sun(t): 日射量 Press(t): 気圧傾度 (大きさ) Pressθ(t): 気圧傾度 (向き) Pibal(t): ノロソーメン (大きさ) Pibalθ(t): ノロソーメン (向き)
$x_1^{(0)}$	Sun(t)	$x_1^{(1)}$ $x_1^{(0)}$
$x_2^{(0)}$	Press(t)	$x_2^{(1)}$ $1/x_2^{(0)}$
$x_3^{(0)}$	Pressθ(t)	$x_3^{(1)}$ $1/x_3^{(0)}$
$x_4^{(0)}$	Pibal(t)	$x_4^{(1)}$ $99.7+23.3 \cos(x_3^{(0)})+20.0 \cos(3x_3^{(0)})$
$x_5^{(0)}$	Pibalθ(t)	

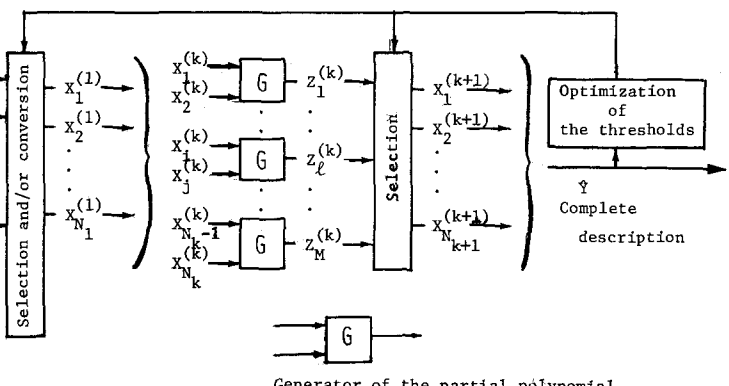


图-8 The Structure of the GMDH algorithm

表-8 Prediction Models

Linear Model	$\hat{y}_1$	$-20.2+0.108 x_1^{(1)}+127 x_3^{(1)}+0.561 x_4^{(1)}$ (R-0.73)
GMDH	$x_1^{(2)} = z_2^{(1)}$	$32.0+381. x_3^{(1)}+0.000115 x_1^{(1) 2}-330. x_3^{(1) 2}$ (R-0.78)
	$x_2^{(2)} = z_5^{(1)}$	$1.33+20.1 x_2^{(1)}+0.692 x_4^{(1)}-0.916 x_2^{(1) 2}$ (R-0.61)
	$\hat{y}_2 = z_1^{(2)}$	$-86.0+0.765 x_1^{(2)}+1.52 x_2^{(2)}-0.00441 x_2^{(2) 2}$ (R-0.83)

(Multiple Correlation)

Scatter Diagram を図-9,10に示す。重回帰分析による予測データの相関係数は 0.73、適合率は、ランク 1 のとき 0.84、ランク 2 のとき 0.86 であった。

また、GMDHによる予測データの相関係数は 0.83、その適合率は、ランク 1 のとき 0.85、ランク 2 のとき 0.90 であった。

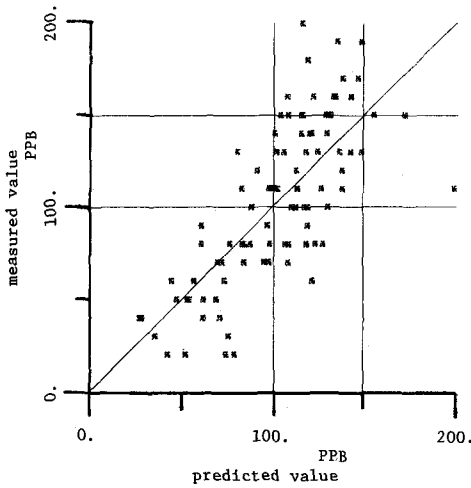


図-9 Scatter diagram of the predicted values and the measured values based on the linear model.

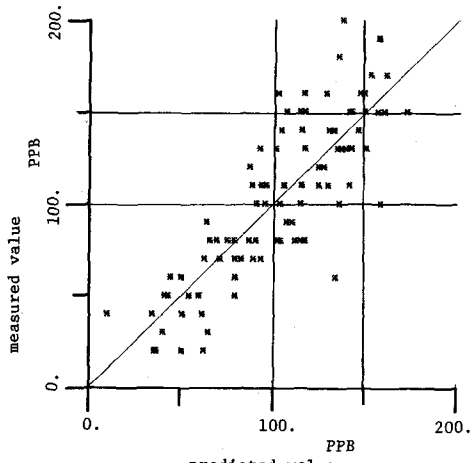


図-10 Scatter diagram of the predicted values and the measured values based on the GMDH.

### 5. あとがき

光化学オキシダント濃度の予測を従来から行われているチェックシートによる方法と、数学モデルを用いた方法とについて行ったが、いずれも、かなり高い適合率を示した。両方法とも、パラメータの数をできるだけ少なくて実用化できるように注意した。大阪地域は、すでに述べたように、局地的な気候が複雑であり、しかも、大気汚染ポテンシャルに影響の大きい混合層高度など、上空の気象要素はほとんど観測されていない。したがって、これらの観測値（または予測値）が使える地方では、その地域の気候を十分把握した上でこの手法を用いれば、さらに精度の高い予測が可能であろう。

### 参考文献

- 1) 近畿の風 昭和46年9月 大阪管区気象台
- 2) 気象からみた大阪の大気汚染 昭和43年2月 大阪管区気象台
- 3) 大阪平野の局地気象と大気汚染気象予報 昭和53年3月 大阪管区気象台
- 4) S. Ikeda, M. Ochiai, and Y. Sawaragi: Sequential GMDH algorithm and its application to river flow prediction, IEEE Trans. Systems, Man, and Cybern., vol. SMC-6, No.7, pp 473-479, 1976.
- 5) 池田三郎, 横木義一; GMDH(発見的自己組織化法)と複雑な系の同定・予測, 計測と制御, 14-2, 185/195, 1975.